

# بهبود توزیع فشار منقبض‌کننده برای کاهش آشفتگی تونل باد

محمد رضا سلطانی (استاد)

کاوه قربانیان (استاد)

محسن میرزابی (کارشناس ارشد)

دانشکده‌ی مهندسی هواپیما، دانشگاه صنعتی شریف

مجتبی دهقان منشادی (استادیار)

مجتمع دانشگاهی مکانیک و هواپیما، دانشگاه صنعتی هالک اشتر

یکی از اهداف اصلی در تونل باد، ایجاد جریان قابل کنترل و پایا با حداقل آشفتگی (توربولنس)<sup>۱</sup> در مقطع کاری است. یکی از عوامل افزایش شدت آشفتگی در مقطع کاری ناپایداری‌ها و جدایش جریان در ابتدا و انتهای منقبض‌کننده‌ی تونل است. از میان روش‌های متعدد کاهش شدت آشفتگی در مقطع کاری، انتقال اجرای جریان با استفاده از نصب سیم نازک در قسمت خروجی منقبض‌کننده، یکی از جدیدترین و کم‌هزینه‌ترین روش‌ها است. در این پژوهش تأثیر نصب سیم نازک در چهار موقعیت در قسمت محدود منقبض‌کننده، بر توزیع فشار جریان مورد بررسی قرار گرفته است. نتایج نشان می‌دهد که رفتار جریان در منقبض‌کننده برای سرعت‌های پایین و بالا متفاوت است. با نصب سیم نازک در  $\frac{L}{79} = ۰.۵۴$  سانتی‌متر از شروع مقطع کاری، گرادیان نامطلوب فشار نسبت به موقعیت‌های دیگر ضعیف‌تر و درنتیجه ناپایداری جریان کم‌تر می‌شود. برای این حالت کمترین شدت آشفتگی در مقطع کاری تونل باد نیز حاصل شده است.

msoltani@sharif.edu  
ghorbanian@sharif.edu  
mihsen.mirzaei.a@gmail.com  
mdmanshadi@alum.sharif.edu

وازگان کلیدی: تونل باد، منقبض‌کننده، گرادیان فشار، آشفتگی، سیم نازک.

## مقدمه

کم شدن اغتشاشات شود. منقبض‌کننده از دو منحنی محدب و مقعر تشکیل شده است. به منظور پرهیز از جدایی و افزایش فرصت انتشار جریان، همواره باید طول منقبض‌کننده بیشتر باشد، اما مسئله‌ی افزایش هزینه‌ی ساخت و افزایش ضخامت لایه‌ی مرزی همراه با احتمال جدایش آن از جمله عوامل محدودکننده‌ی این پارامترند.<sup>[۱۲، ۱۳]</sup> فیزیک جریان داخل منقبض‌کننده‌ی تونل دارای پیچیدگی‌های زیادی است. در مطالعات تجربی و عددی انجام شده پیرامون جریان داخل منقبض‌کننده‌ی تونل، توزیع سرعت در مقاطع عرضی و توزیع فشار در راستای طولی منقبض‌کننده به دست آمد.<sup>[۱۴]</sup> در مطالعه‌ی رفتار لایه‌ی مرزی داخل منقبض‌کننده<sup>[۱۵]</sup> تأثیر پارامترهای مؤثر در طراحی منقبض‌کننده، در حالتی که جدایش لایه‌ی مرزی وجود نداشته باشد، بررسی شده است. این مطالعات نشان داد که به دلیل مسطح شدن انحنای دیواره در ابتدای منقبض‌کننده و در خروجی آن، امکان وجود گرادیان فشار نامطلوب وجود دارد که این امر می‌تواند باعث جدایش جریان شود. در شکل ۱ محدوده‌ی که امکان جدایش جریان در داخل منقبض‌کننده را دارد، نشان داده شده است. بررسی رفتار جریان نشان می‌دهد که امکان جدایش سه بعدی جریان در قسمت مقعر منقبض‌کننده وجود دارد. یک مدل پیشنهادی برای توجیه این پدیده این است که فرایند جدایش، با غیریکنواختی‌های کوچک جریان لایه‌ی مرزی که به‌واسطه‌ی حضور توری‌های در قسمت بالادست جریان شکل می‌گیرد،

در تونل باد هدف اساسی دست‌یابی به جریان قابل کنترل و پایا در مقطع کاری است. از پارامترهای مهم برای این هدف، پایین‌بودن شدت آشفتگی در مقطع کاری تونل است. آشفتگی تأثیرات نامطلوبی بر لایه‌ی مرزی دارد. شدت آشفتگی جریان باعث تسريع در آشفته‌سازی لایه‌ی مرزی تشکیل شده روی مدل می‌شود و نتیجتاً نیروی پسا به شدت تحت تأثیر قرار خواهد گرفت.<sup>[۱۶]</sup> علاوه بر این آشفتگی در تونل از این محسوسی روی توزیع فشار در مقطع کاری و نتیجتاً روی مدل مورد آزمایش دارد. نیروی برآ در زاویه‌ی حمله‌ی بالا، نزدیک به اواندمگی، نیز باستگی نسبتاً شدیدی با آشفتگی جریان دارد.<sup>[۱۷]</sup> روش‌های زیادی برای کاهش آشفتگی در تونل باد پیشنهاد شده است که از آن جمله می‌توان به استفاده از نسبت منقبض‌کننده<sup>[۱۸]</sup> مناسب،<sup>[۱۹]</sup> نصب توری و لانه زنبوری در محفظه‌ی آرامش تونل<sup>[۲۰-۲۱]</sup> اشاره کرد. یکی از روش‌های جدید و کم‌هزینه برای کاهش شدت آشفتگی که یکنواختی جریان در مقطع کاری را به همراه خواهد داشت، قراردادن سیم نازک در داخل منقبض‌کننده‌ی تونل است.<sup>[۱۱، ۱۰]</sup>

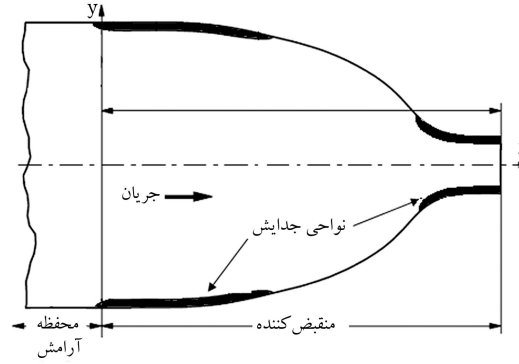
یکی از مهم‌ترین بخش‌های تونل، منقبض‌کننده‌ی آن است که باید در فاصله‌ی کوتاهی، خطوط جریان را شدیداً هم‌گرا و متراکم کند و نیز باعث کاهش غیریکنواختی و

و دیگری در نزدیکی سطح بالایی جفت گردابه قارچی گورتلر قرار دارد. این بررسی‌ها نشان داد که گردابیان فشار مطلوب موجب ازین بردن رشد اغتشاشات سرعت و به تأخیر انداختن ناپایداری‌های ثانویه می‌شود. اثر اصلی گردابیان فشار نامطلوب حرکت‌دادن لایه‌ی تشن زیاد (سطح بالایی) به سمت خارج از سطح دیواره است و اثر کمی بر لایه‌ی تشن بالای نزدیک سطح می‌گذارد. این افزایش فاصله‌ی لایه‌های تشن از هم، با دور شدن جفت گردابه‌ها از سطح توجیه می‌شود. در منقبض‌کننده‌ی تونل باد گردابیان فشار منفی باعث بلند شدن گردابه‌ها از سطح منقبض‌کننده می‌شود.

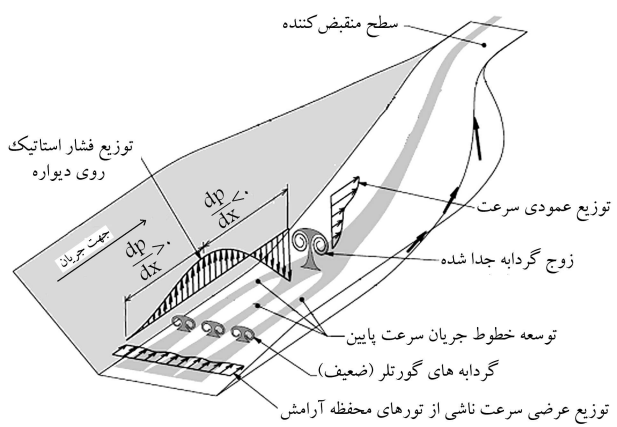
ج) گردابیان فشار عرضی: بررسی‌های انجام شده نشان می‌دهند که هم‌گردابی جریان بر اثر گردابیان فشار عرضی، ممکن است به تولید جفت گردابه‌های بینجامد که سبب جدایی جریان می‌شوند.<sup>[۲۰]</sup> درنتیجه‌ی تولید این جفت گردابه‌ها یک لایه‌ی مرزی اریب تشکیل می‌شود که مؤلفه‌ی عرضی آن دارای بیشینه‌ی در داخل لایه‌ی مرزی است. هم‌گردابی جریان عرضی نزدیک سطح باعث به وجود آمدن سازوکاری برای تقویت گردابه‌های ضعیفی می‌شود که بوسیله‌ی ناپایداری‌های گورتلر به وجود آمده‌اند.

حقیقین مشاهده کردند که در قسمت مقعر منقبض‌کننده یک ردیف از گردابه‌های گورتلر توسعه پیدا می‌کند و در نهایت می‌شکند و باعث افزایش آشفتگی می‌شود.<sup>[۲۱]</sup> در واقع گردابه‌های گورتلر، عامل اصلی انتقال جریان آرام به آشفته است. شتاب زیاد جریان باعث جلوگیری از توسعه‌ی آشفتگی جریان، و درنتیجه انتقال معکوس جریان در قسمت محدب منقبض‌کننده می‌شود. همچنین نشانه‌های غیرمنتظره‌ی از آشفتگی در قسمت محدب منقبض‌کننده، بعد از آرامشدن جریان، مشاهده شد. نتایج تحقیقات تجزیی نشان می‌دهد که لایه‌ی مرزی آشفته در قسمت مقعر منقبض‌کننده، با ضریبی که مرتبط با ناپایداری گورتلر است، در حال ضخیم شدن است اگرچه شتاب جریان به آرام شدن جریان در قسمت محدب منقبض‌کننده می‌انجامد.<sup>[۲۲]</sup> به عبارت دیگر در این قسمت منقبض‌کننده، انتقال معکوس<sup>۴</sup> لایه‌ی مرزی از حالت آشفته به آرام روی می‌دهد. اثرات انتقال معکوس لایه‌ی مرزی در منقبض‌کننده‌ی تونل باد گرفت.<sup>[۲۳]</sup> اندازه‌گیری‌های انجام شده نشان می‌دهد که در رینولدز پایین لایه‌ی مرزی آرام توسط گردابه‌های طولی بزرگی که به واسطه‌ی ناپایداری‌های گورتلر در قسمت مقعر منقبض‌کننده تولید شده، تعییر شکل می‌دهد و در نهایت این لایه‌ی مرزی آشفته در قسمت محدب منقبض‌کننده به دلیل شتاب جریان، دیواره آرام می‌شود. در رینولدز بالاتر لایه‌ی مرزی در ورودی منقبض‌کننده است و اغتشاشات بزرگ عرضی در قسمت مقعر منقبض‌کننده دیده می‌شود. این لایه‌ی مرزی آشفته در قسمت محدب منقبض‌کننده برایر شتاب زیاد، آرام می‌شود. حقیقین نشان داده‌اند که برای انتقال معکوس در منقبض‌کننده، در مقایسه با صفحه‌ی تخت، شتاب بیشتری مورد نیاز است.<sup>[۲۴]</sup>

در قسمت محدب منقبض‌کننده‌ی تونل نیز ناپایداری‌هایی دیده می‌شود که باعث جدایش جریان می‌شود که در واقع محل تعییر جریان گذرا به آشفته است. کمی جلوتر و قبل از مقطع کاری، لایه‌ی مرزی آرام شده، با ناپایداری خشمی<sup>۵</sup> ناشی از این‌ها سطح مواجه می‌شود که این نیز باعث جدایش جریان خواهد شد. در قسمت محدب و در خروجی منقبض‌کننده، این ناپایداری به طور ناگهانی باعث جلوانداختن تعییر جریان از آرام به مغشوش می‌شود. با توجه به تحقیقاتی که بین سه تونل باد متفاوت، بدون توجه به شکل منقبض‌کننده‌شان انجام شد، مشاهده شد که این پدیده تقریباً در  $4 \times 10^6 \approx Re_{ex}$  اتفاق می‌افتد<sup>[۲۵]</sup> (x: فاصله از ورودی منقبض‌کننده و  $U$ : سرعت موضعی<sup>۶</sup> در همان نقطه‌ی داخل منقبض‌کننده است). بدینهی است برایر



شکل ۱. ناحیه‌ی جدایش در منقبض‌کننده.



شکل ۲. مدل مفهومی جدایش سه‌بعدی جریان برای منقبض‌کننده با سطح مقطع مربع شکل.<sup>[۱۶]</sup>

آغاز می‌شود. این اغتشاشات در ابتدای منقبض‌کننده با افزایش ناپایداری‌های گورتلر، گردابیان فشار عرضی و گردابیان فشار نامطلوب طولی تقویت می‌شود و در نهایت به تولید یک جفت گردابه‌های گردابیان فشار جدایش از سطح می‌انجامد.<sup>[۱۷]</sup> شکل ۲ نشان‌گر رفتار جریان داخل منقبض‌کننده با سطح مقطع مربع است. این رفتار در سرعت‌های پایین مشهودتر است. به طور خلاصه می‌توان عوامل موج جدایش جریان را چنین معرفی کرد:

(الف) اغتشاشات اولیه: وجود توری در قسمت محظوظه آرامش تونل بریکمواختی جریان تأثیر بسیار دارد. حقیقین نشان داده‌اند که تعییری اندک در شبکه‌ی توری ممکن است منبع غیریکنواختی کم‌دامنه در جریان پایین دست‌توری باشد.<sup>[۱۸]</sup> این غیریکنواختی عامل تعییر عرضی ضخامت لایه‌ی مرزی در ورودی منقبض‌کننده است. مرحله‌ی بعدی که به جدایش قوی در منقبض‌کننده می‌انجامد است از تعییر شکل لایه‌ی مرزی به چند لایه‌ی مجرزا که در سطح منقبض‌کننده به وجود می‌آیند. این لایه‌های مجرزا، با انباستگی جریان سرعت کم در نزدیکی دیواره — ناحیه‌ی مکش جریان — گردابه‌های گورتلر را ایجاد می‌کنند. یادآور می‌شود که عدد گورتلر<sup>۷</sup> ( $Gö = 2Re^{0.75} \delta$ ) در قسمت مقعر منقبض‌کننده و در محدوده‌ی ایجاد ناپایداری‌های گورتلر قرار دارد.

(ب) گردابیان فشار طولی: در بررسی‌های به عمل آمده پیرامون اثرات گردابیان فشار طولی در تشکیل ناپایداری‌های ثانویه‌ی گورتلر، آزمایش‌های انجام شده نشان داد که منحنی پروفیل سرعت در جهت مالی است و دو نقطه با احتنای زیاد (تش شیخ زیاد) دارد. این دو نقطه یکی در نزدیک سطح دیواره می‌باشند

مستقیم بوده و وقتی اختلاف فشار دو سر آن صفر باشد، ولتاژ خروجی آن در حدود ۳/۲ تا ۴/۳ ولت است. زمان پاسخگویی این سنسورها (حساسه‌ها) به تغییرات فشاری ۱ میلی ثانیه است. برای استفاده از مبدل‌ها باید هرکدام از آنها را به طور جداگانه کالیبیره کرد. کالیبراسیون در دو مرحله صورت گرفته است، یکبار با فشار کم شروع و فشار مرتباً زیاد شد. یکبار نیز از فشار زیاد شروع و سپس فشار مرتباً کم شد. این کار برای حصول اطمینان از عدم وجود هیسترزیس (پسماند مغناطیسی) در منحنی کالیبراسیون و خطی بودن آن برای حالت‌های افزایش و کاهش فشار است. در واقع هدف کالیبراسیون تعیین مقادیر اختلاف فشار به‌ازای اختلاف ولتاژ مشخص است. یادآور می‌شود به‌منظور اطمینان از عدم تغییر در شب خروجی مبدل‌ها، همگی به‌صورت جداگانه در ابتدای آزمایش نیز کالیبیره شده‌اند. برای انتقال اجباری جریان از سیم گیتار که دارای زیری یکنواختی است، استفاده شده است. قطر این سیم ۰/۹۱ میلی‌متر است.

شدت آشفتگی و توزیع آن در مقطع کاری با استفاده از سیم داغ دو مؤلفه و متعلقات آن اندازه‌گیری شده است. به‌منظور اخذ و پردازش اطلاعات، نرم‌افزاری تهیه شده که از یک بُرد آنالوگ به دیجیتال ۱۶ کاناله استفاده می‌کند. برای محاسبه‌ی شدت آشفتگی در گام نخست پرابهای ای سیم داغ به‌صورت دینامیکی و استاتیکی کالیبیره شده است. سپس ولتاژهای خروجی بعد از فیلترشدن و استفاده از روابط کالیبراسیون به مؤلفه‌های نوسانی سرعت تبدیل می‌شوند که می‌توان بعد از محاسبه‌ی محدوده میانگین مرباعات، و طبق رابطه‌ی ۱ مؤلفه‌ی کلی شدت آشفتگی را اندازه‌گیری کرد.

$$TI = 100 \times \frac{((u_{rms}^2 + v_{rms}^2)/2)^{1/2}}{(U_{mean}^2 + V_{mean}^2)^{1/2}} \quad (1)$$

جزئیات بیشتر در مورد نحوه اندازه‌گیری شدت آشفتگی — شامل کالیبراسیون استاتیکی، دینامیکی و غیره — قابل دسترس است.<sup>[۲۹-۲۷]</sup>

### مراحل انجام آزمایش

برای اندازه‌گیری توزیع فشار از مبدل‌های فشاری استفاده شده، فرکانس اخذ اطلاعات برابر ۱ KHz و تعداد نمونه برای هر نقطه ۲۵۰۰ عدد بوده است. میزان فشار در طول منقبض‌کننده‌ی تولن و در سرعت‌های ۲۰ تا ۸۰ متر بر ثانیه اندازه‌گیری شده است. به‌منظور به دست آوردن توزیع فشار استاتیک، از ۲۷ مبدل فشاری استفاده شده است. قابل ذکر است که نقاط اندازه‌گیری فشار با فاصله‌ی ۱۰ سانتی‌متر از هم، از شروع محفظه‌ی آرامش تا انتهای منقبض‌کننده در نظر گرفته شده‌اند. در ابتدای بدون نصب سیم نازک در منقبض‌کننده (حالت تمیز) داده‌ها در سرعت‌های مختلف اخذ شده است. در حالات بعدی سیم نازک در چهار نقطه در انتهای قسمت مدبب منقبض‌کننده نصب شده (شکل ۴) و برای هر حالت نصب سیم نازک، توزیع فشار اندازه‌گیری شده است. در حالت اول سیم نازک در فاصله‌ی ۱۰ سانتی‌متر از خروجی منقبض‌کننده (۰,۹۱ =  $\frac{x}{L}$ ) نصب شده و سپس به ترتیب سیم نازک در فواصل ۳۰ سانتی‌متری (۰,۷۹ =  $\frac{x}{L}$ )، ۵۴ (۰,۸۸ =  $\frac{x}{L}$ ) و ۷۶ (۰,۷۱ =  $\frac{x}{L}$ ) از شروع مقطع کاری نصب شده است. برای تمامی حالات، توزیع فشار اندازه‌گیری شد که در ادامه مورد بررسی قرار می‌گیرند. نمودار مربوط به منحنی منقبض‌کننده در شکل ۴ آورده شده است. برای حالات فوق تغییرات شدت آشفتگی با سرعت در وسط مقطع کاری، ۱۰۰ سانتی‌متر از شروع مقطع کاری اندازه‌گیری شده است.

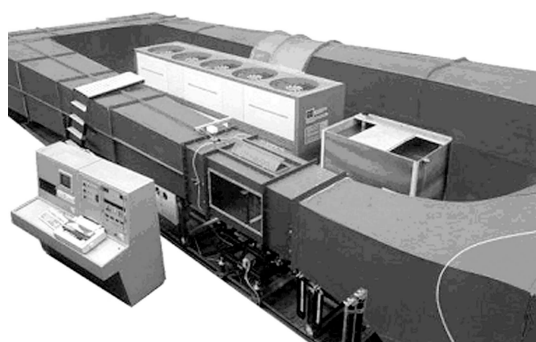
تغییر سرعت مقطع کاری، محل این ناپایداری که در واقع همان محل تغییر جریان گذرا به آشفته است، تغییر می‌کند. با توجه به طول منقبض‌کننده و سرعت مقطع کاری، این ناپایداری می‌تواند از قسمت مدبب منقبض‌کننده تا داخل مقطع کاری جابه‌جا شود. اگر محل این ناپایداری داخل مقطع کاری یا خیلی نزدیک به آن باشد، شدت آشفتگی در مقطع کاری زیاد می‌شود. برای رفع این مشکل می‌توان موقعیت این ناپایداری را در محلی ثابت نگه داشت که این کار با انتقال اجباری به‌وسیله‌ی نصب سیم نازک در قسمت انتهای منقبض‌کننده انجام می‌شود.<sup>[۱۱]</sup> تحقیقات انجام شده نشان می‌دهد که با نصب سیم نازک در خروجی منقبض‌کننده، شدت آشفتگی در مقطع کاری کاهش قابل توجهی داشته است. بررسی‌ها در این پژوهش نشان می‌دهد که یکی از بهترین محل‌های نصب سیم نازک، دهانه‌ی خروجی منقبض‌کننده‌ی تولن است.

در این پژوهش ابتدا توزیع فشار داخل منقبض‌کننده در سرعت‌های مختلف، و در راستای طول منقبض‌کننده بررسی شده است. در حالات بعدی سیم نازک در چهار موقعیت در قسمت مدبب منقبض‌کننده نصب شده و با اندازه‌گیری و مقایسه‌ی توزیع فشار، موقعیت مناسب برای نصب سیم نازک به‌منظور کاهش اثرات جدایش و درنتیجه کاهش شدت آشفتگی در مقطع کاری مشخص شده است. اندازه‌گیری شدت آشفتگی در مقطع کاری مؤید این موقعیت برای کمترین مقدار شدت آشفتگی در تولن باد است.

### تجهیزات

برای بررسی توزیع فشار منقبض‌کننده و تأثیر انتقال اجباری بر آن، از تولن باد، مبدل<sup>۷</sup>‌های فشاری، سیم نازک، سیستم داده‌برداری و سیم داغ برای اندازه‌گیری شدت آشفتگی استفاده شده است. در شکل ۳ شماتیک تولن باد شیراز که از نوع مدار بسته است، نشان داده شده است. ابعاد کلی این تولن  $18 \times 6,5 \times 3,8$  متر است. ابعاد محفظه‌ی آزمایش این تولن  $20 \times 8,0 \times 8,0$  سانتی‌متر و بیشترین سرعت در محفظه‌ی آزمایش ۱۰۰ متر بر ثانیه است. نسبت هم‌گرایی منقبض‌کننده تقریباً ۷ است. دامنه‌ی تغییرات دمای داخل محفظه‌ی آزمایش قابل تنظیم است و عدد رینولدز در محفظه‌ی آزمایش از  $10^5 \times 5,26 \times 10^6$  تا  $5,29 \times 10^6$  بر متر قابل تغییر است. ویزگی‌ها و رفتار جریان در مقطع کاری تولن در برخی مراجع مورد بررسی قرار گرفته است.<sup>[۲۶, ۲۵]</sup>

برای اندازه‌گیری تغییرات فشار استاتیک در منقبض‌کننده از مبدل‌های فشاری مناسب استفاده شده است. این مبدل‌ها از نوع تفاضلی‌اند و اختلاف فشار نسبی را اندازه‌گیری می‌کنند. ولتاژ تغذیه‌ی ورودی این مبدل‌ها  $5,0 \pm 0,5$  ولت جریان

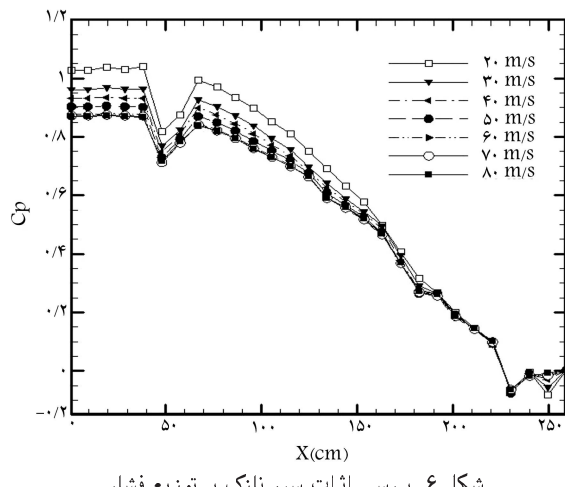


شکل ۳. نمایی از تولن باد مورد استفاده در این پژوهش.

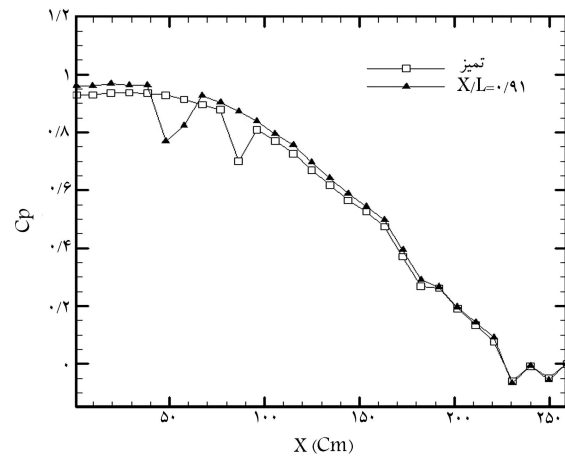
است که در خروجی منقبض‌کننده و نزدیک مقطع ثابت انتهایی آن، خطوط جریان پس از رسیدن به مقطع ثابت مقداری باز شده که منجر به افزایش فشار نسبی ذرات بر روی دیواره‌های منقبض‌کننده می‌شود و در این ناحیه نیز گرادیان فشار ثابت رخ می‌دهد. به عبارت دیگر، در ناحیه‌ی خروجی منقبض‌کننده که منحنی آن محدب است، سرعت در نزدیکی دیواره‌ها از سرعت روی محور تقارن بیشتر است. هنگامی که این ناحیه‌ی محدب به انتهای خود و به ناحیه‌ی با مقطع ثابت می‌رسد باید این توزیع غیریکنواخت تبدیل به توزیع یکنواخت شود؛ این مسئله با کاهش سرعت روی دیواره‌ها محقق می‌شود. این کاهش سرعت باعث افزایش فشار نزدیک دیواره و ایجاد گرادیان فشار ثابت می‌شود. رفتار این ناپایداری‌ها بر عکس ناپایداری‌هایی است که در ابتدای منقبض‌کننده به وجود می‌آید، یعنی با افزایش سرعت این ناپایداری‌های بیشتر می‌شوند. شکل ۵ این رفتار را به‌وضوح نشان می‌دهد.

در حالات بعدی با نصب سیم نازک در منقبض‌کننده اطلاعات در سرعت‌های مذکور اخذ شده است. در حالت اول سیم نازک در  $0.91 \frac{m}{s}$  نصب شده است.

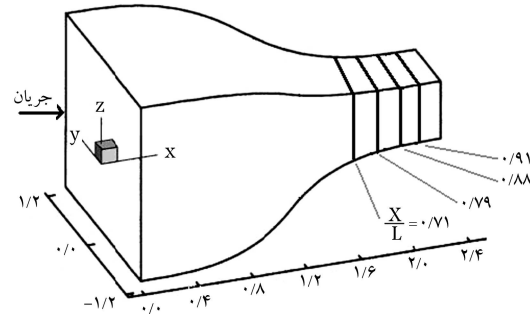
شکل‌های ۶ و ۷ مربوط به این حالت است. در این حالت مشاهده می‌شود که در تمامی سرعت‌ها گرادیان فشار در ابتدای و انتهای منقبض‌کننده وجود دارد. در سرعت‌های بالا (بیشتر از  $50 \frac{m}{s}$ ) مقدار ثابت می‌شود. نکته‌ی جالب در این مشاهدات (شکل ۷) این است که در سرعت‌های پایین مقدار  $C_p$  در ابتدای منقبض‌کننده، در مقایسه با حالت بدون سیم



شکل ۶. بررسی اثرات سیم نازک بر توزیع فشار.



شکل ۷. مقایسه‌ی اثرات سیم نازک بر توزیع فشار در سرعت  $30 \frac{m}{s}$ .

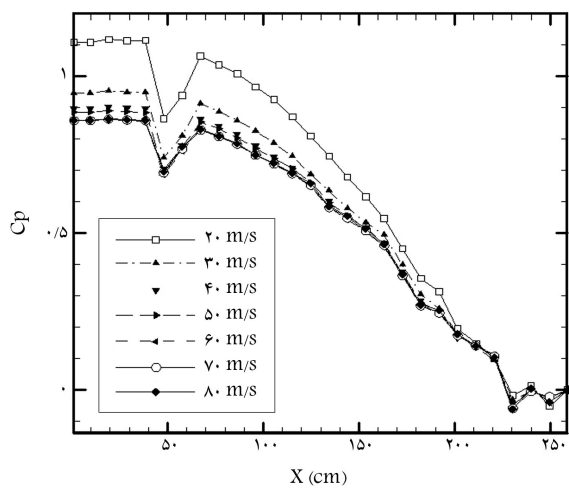


استفاده از این اطلاعات می‌توان نتیجه گرفت که ناپایداری‌های ابتدای منقبض‌کننده نسبت به حالت تمیز ضعیف‌تر و نسبت به حالت قبلی (سیم نازک در  $\frac{x}{L} = 0,91$ )، اندکی قوی‌تر شده‌اند. در سرعت‌های بالاتر نصب سیم نازک در  $\frac{x}{L} = 0,88$  باعث تضعیف گرادیان فشار نامطلوب و درنتیجه کاهش ناپایداری جریان در خروجی منقبض‌کننده می‌شود. از طرفی مقدار  $C_p$  در ابتدای منقبض‌کننده نسبت به حالت تمیز و حالت قبل،  $= 0,91$ ، کمتر می‌شود. نصب سیم نازک در این موقعیت، در سرعت‌های بالا باعث تقویت ناپایداری‌های در ابتدای منقبض‌کننده و تضعیف ناپایداری‌های در خروجی منقبض‌کننده می‌شود و در سرعت‌های پایین بیشتر روی ناپایداری‌های ابتدای منقبض‌کننده اثر می‌گذارد و باعث تضعیف آن می‌شود. برای حالت سوم سیم نازک در  $\frac{x}{L} = 0,79$  نصب شده است که نتایج آن در شکل‌های ۱۰ و ۱۱ آورده شده است.

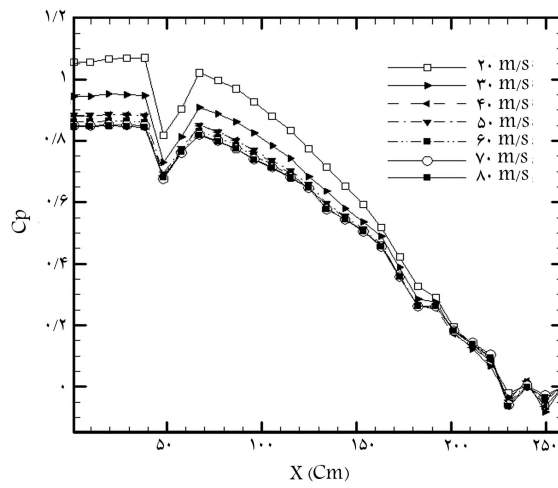
در این حالت نیز مانند حالات قبل، در تمامی سرعت‌های گرادیان فشار نامطلوب در ابتدا و انتهای منقبض‌کننده وجود دارد و گرادیان فشار ابتدای منقبض‌کننده به سمت ورودی آن حرکت کرده، اما شدت آن نسبت به دو حالت قبل کمتر است. همچنین نصب سیم نازک خصوصاً در سرعت‌های بالاتر باعث تضعیف گرادیان فشار نامطلوب خروجی منقبض‌کننده و درنتیجه کاهش ناپایداری جریان در آن ناحیه می‌شود. مقدار  $C_p$  در ابتدای منقبض‌کننده، در سرعت‌های پایین، در مقایسه با

نازک افزایش یافته و همچنین محل تشکیل ناپایداری‌ها به سمت ورودی منقبض‌کننده نزدیک شده است. حرکت ناپایداری‌های به سمت ورودی منقبض‌کننده به دلیل تأثیر سیم نازک در جریان مادون صوت است. به عبارت دیگر حرکت گرادیان فشار نامطلوب به دلیل تأثیر جریان پایین دست بر روی جریان بالادست در جریان مادون صوت است. ناپایداری‌های جریان باعث می‌شود که افت انرژی یا به عبارتی افت فشار جریان بیشتر باشد، درنتیجه مقدار  $C_p$  در حالتی که ناپایداری بیشتر وجود دارد کمتر است. با توجه به این نکته که با نصب سیم نازک مقدار  $C_p$  در ابتدای منقبض‌کننده و در سرعت‌های کم بیشتر شده، می‌توان نتیجه گرفت که ناپایداری‌های ابتدای منقبض‌کننده ضعیف‌تر شده است. در سرعت‌های بالاتر با نصب سیم نازک مقدار  $C_p$  در ابتدای منقبض‌کننده نسبت به حالت بدون سیم، کمتر می‌شود. در حالت دوم سیم نازک در  $\frac{x}{L} = 0,88$  نصب شده است. شکل‌های ۸ و ۹ مربوط به این حالت است.

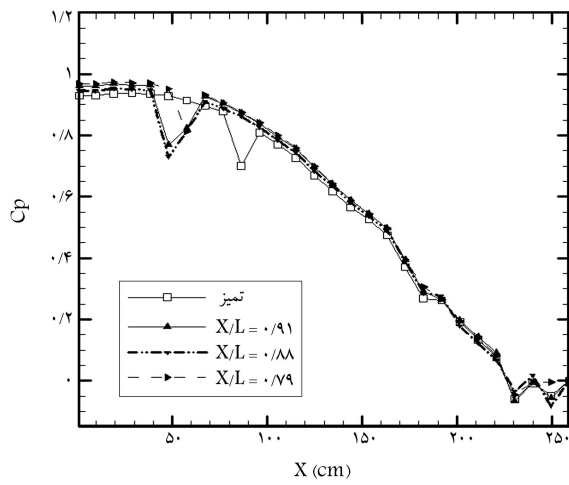
در این موقعیت مشاهده می‌شود که مانند حالت قبل، در تمامی سرعت‌ها گرادیان فشار در ابتدا و انتهای منقبض‌کننده وجود دارد و محل تشکیل ناپایداری‌های نیز به سمت ورودی منقبض‌کننده نزدیک شده است و همچنین در سرعت‌های پایین مقدار  $C_p$  در ابتدای منقبض‌کننده، در مقایسه با حالت بدون سیم افزایش و نسبت به حالت وجود سیم نازک در موقعیت  $\frac{x}{L} = 0,91$ ، اندکی کاهش یافته است. با



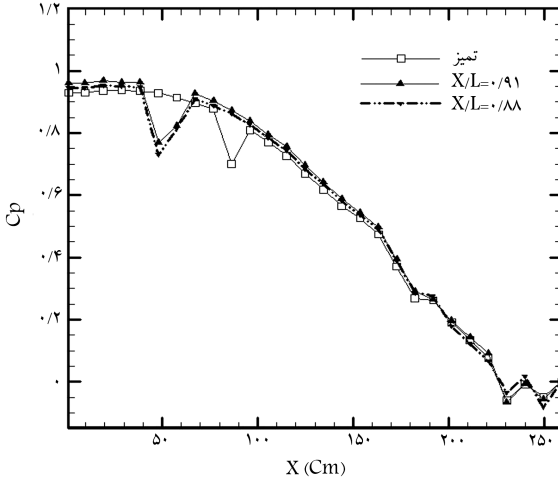
شکل ۱۰. بررسی اثر سیم نازک بر توزیع فشار.



شکل ۸. بررسی اثرات سیم نازک بر توزیع فشار.

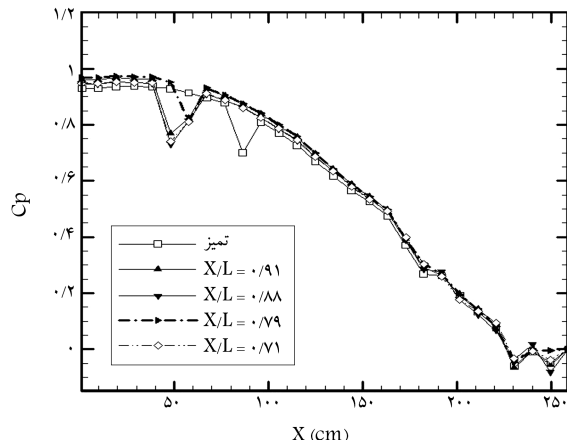


شکل ۱۱. مقایسه اثرات سیم نازک بر توزیع فشار در سرعت  $30 \text{ m/s}$ .

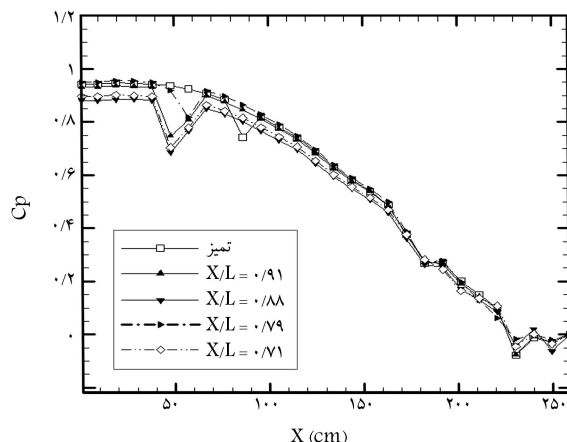


شکل ۹. مقایسه اثرات سیم نازک بر توزیع فشار در سرعت  $30 \text{ m/s}$ .

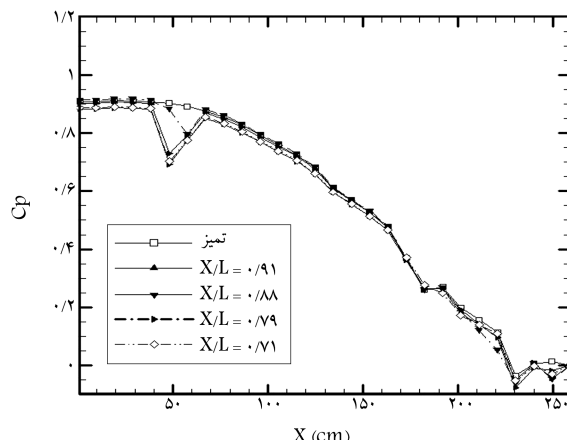
این مسئله به جریان اجازه می‌دهد تا قبل از ورود به مقطع کاری زمان بیشتری برای جریان این گرادیان فشار داشته باشد و در نهایت باعث بهبود کیفیت جریان در داخل مقطع کاری شود. لذا مشخص است که نصب سیم نازک به خصوص در  $\frac{L}{L} = 0,79$  باعث کاهش نوسانات موجود در توزیع فشار در منقبض کننده در نزدیک مقطع کاری شده است. همچنین این شکل‌ها نشان می‌دهند که در تمام سرعت‌های سیم نازک در این موقعیت، مقدار اوج فشار را نسبت به سایر موقعیت‌های سیم نازک بیشتر کاهش



شکل ۱۴. مقایسه اثرات سیم نازک بر توزیع فشار در سرعت  $30 \text{ m/s}$ .



شکل ۱۵. مقایسه اثرات سیم نازک بر توزیع فشار در سرعت  $40 \text{ m/s}$ .

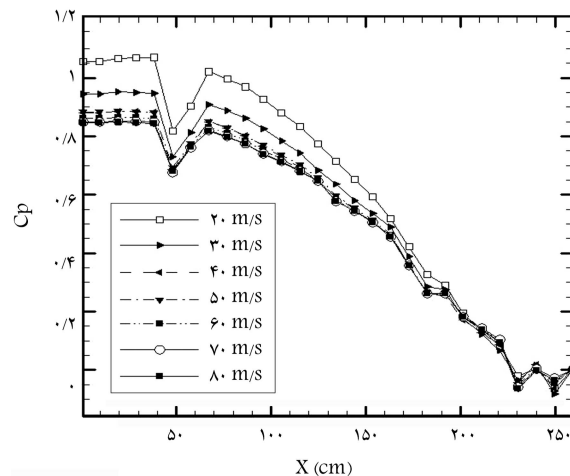


شکل ۱۶. مقایسه اثرات سیم نازک بر توزیع فشار در سرعت  $50 \text{ m/s}$ .

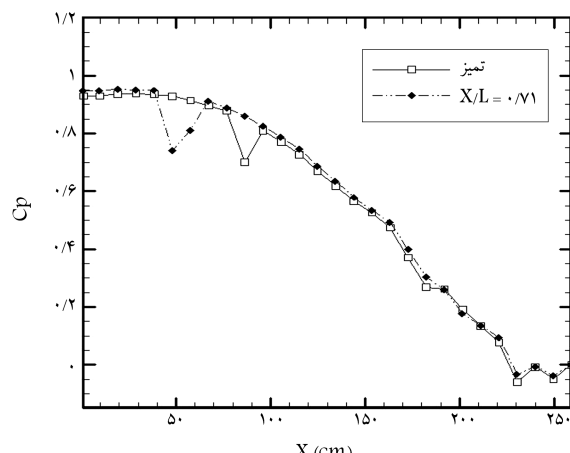
حالات تمیز و حالات قبلي (شکل ۱۰ و ۱۱)، افزایش يافته است و در سرعت‌های بالاتر مقدار Cp در ابتدای منقبض کننده نسبت به حالت تمیز کمتر و از حالات قبلي بيشتر است. اين رفتار حاکمي از آن است که قدرت ناپايداري هاي در ورودي منقبض کننده برای اين محل نصب، نسبت به نقاط قبلي نصب سیم نازک، کمتر است. دليل کمتر بودن Cp حالت تمیز در سرعت‌های بالا اين است که در حالت تمیز، در ابتدای منقبض کننده گرادیان فشار نامطابقي (ناپايداري) وجود ندارد. برای حالت چهارم سیم نازک در  $\frac{L}{L} = 0,71$  نصب شده است (شکل‌های ۱۲ و ۱۳).

با توجه به شکل‌های ۱۲ و ۱۳ مشاهده می‌شود که توزیع فشار برای این موقعیت سیم نازک، باعث می‌شود که گرادیان فشار مطلوب در محل نصب سیم نازک بيشتر شود، که علت آن انتقال اجباری جریان در این ناحیه است. توزیع فشار در ورودی و خروجی منقبض کننده برای اين حالت، تقریباً شبیه حالت قبل، سیم نازک در  $\frac{L}{L} = 0,88$  است با این تفاوت که در سرعت‌های بالا، ناپايداري هاي خروجي منقبض کننده را ضعيف تر می‌کند.

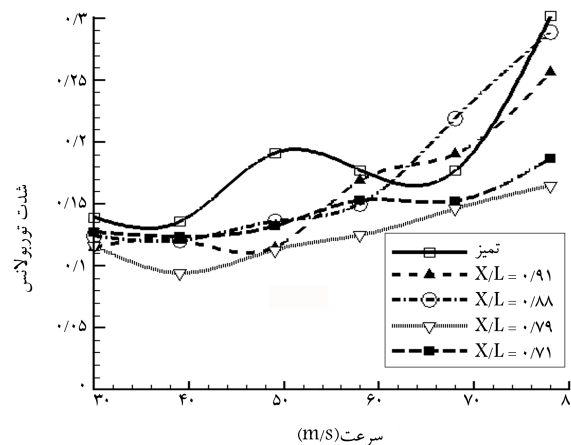
در شکل‌های ۱۴ تا ۱۹ توزیع فشار برای حالات مختلف (تمیز و سه نقطه‌ی نصب) و در سرعت‌های مختلف نشان داده شده است. اين شکل‌ها نشان می‌دهند که برای سرعت‌های  $30$  و  $40$  متر بر ثانیه، سیم نازک گرادیان فشار موجود در ابتدای منقبض کننده را برای همه‌ی موقعیت‌ها به سمت محافظه‌ی آرامش متمایل می‌سازد.



شکل ۱۷. بررسی اثر سیم نازک بر توزیع فشار در سرعت‌های مختلف.



شکل ۱۸. مقایسه اثرات سیم نازک بر توزیع فشار در سرعت  $30 \text{ m/s}$ .

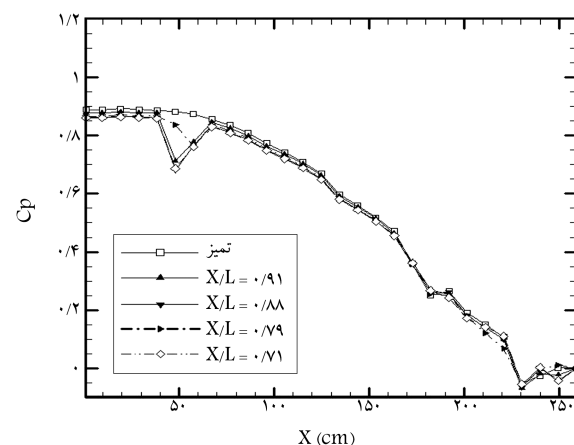


شکل ۲۰. تغییرات شدت آشفتگی در مرکز تونل باد برای ۴ موقعیت نصب سیم نازک.

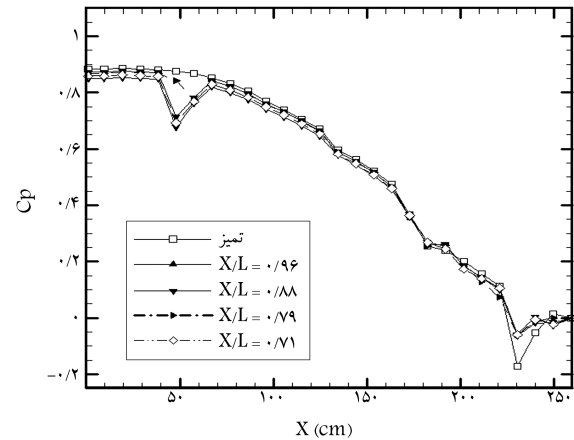
بررسی این شکل نشان می‌دهد که با نصب سیم نازک در موقعیت  $\frac{x}{L} = 0.79$ ، شدت آشفتگی کاهش قابل توجهی یافته و با ثابت‌کردن نقطه‌ی گذار در منقبض کننده، تغییرات شدت آشفتگی در این حالت یکنواخت شده است. اما در موقعیت‌های دیگر آشفتگی در سرعت پایین کاهش یافته ولی در سرعت‌های بالا اثر چشمگیری در کاهش آشفتگی نداشته و حتی در بعضی سرعت‌ها آن را افزایش داده که این پدیده با مباحث مطرح شده به خوبی مطابقت دارد.

### نتیجه‌گیری

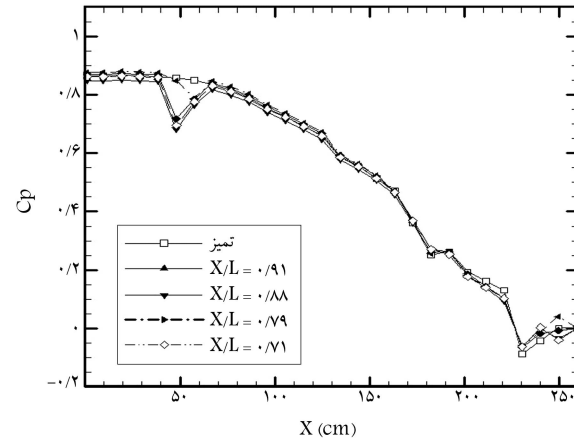
توزیع فشار در منقبض کننده‌ی یک تونل باد زیر صوت موجود در کشور برای سرعت‌های مختلف اندازه‌گیری شده و تغییر توزیع فشار در اثر نصب سیم نازک در قسمت محدب منقبض کننده بررسی شده است. این آزمایشات نشان می‌دهد که توزیع فشار در حالت تمیز، در طول منقبض کننده همواره مطلوب نیست و همچنین مقدار آن با سرعت تغییر می‌کند که این تغییر در سرعت‌های پایین کاملاً محسوس است. در ابتدا و انتهای منقبض کننده گردابی‌های فشار نامطلوبی که معرف ناپایداری جریان است وجود دارد. در سرعت‌های پایین گردابیان فشار نامطلوبی در ابتدا منقبض کننده وجود دارد و با افزایش سرعت این گردابیان نامطلوب کمتر و نهایتاً از بین می‌رود. این بدان معناست که در سرعت‌های پایین امکان جداشی جریان زیاد است و با کاهش سرعت جداشی قوی‌تری در این قسمت رخ می‌دهد. در قسمت محدب خروجی منقبض کننده نیز گردابیان‌های فشار نامطلوبی مشاهده می‌شود که دلیل آن ناپایداری نوع خمی است. این گردابیان نامطلوب در تمامی سرعت‌ها مشاهده می‌شود و با افزایش سرعت شدیدتر می‌شود؛ از آنجا که این ناپایداری‌های به مقطع کاری نزدیک‌تر است، اثر بیشتری بر شدت آشفتگی جریان داخل منقبض کننده دارد. لذا برای تضعیف این ناپایداری‌ها، با سیم نازک که در چهار موقعیت در قسمت محدب نازک نصب شده، انتقال اجباری ایجاد شده است. بررسی نتایج مؤید این مطلب است که در سرعت‌های پایین نصب سیم نازک باعث شده که محل تشکیل گردابیان نامطلوب فشار به سمت ورودی منقبض کننده نزدیک شود. این پدیده باعث می‌شود جریان فرصلت بیشتری برای از بین بدن اغتشاشات ناشی از این ناپایداری جریان داشته باشد. همچنین موجب می‌شود مقدار و شدت گردابیان فشار تغییر کند که موقعیت نصب سیم در  $\frac{x}{L} = 0.79$ ، ضعیف‌ترین گردابیان فشار را دارد.



شکل ۲۱. مقایسه‌ی اثرات سیم نازک بر توزیع فشار در سرعت ۶۰ m/s



شکل ۲۲. مقایسه‌ی اثرات سیم نازک بر توزیع فشار در سرعت ۷۰ m/s



شکل ۲۳. مقایسه‌ی اثرات سیم نازک بر توزیع فشار در سرعت ۸۰ m/s

داده است. پیش‌تر گفته شد که در سرعت‌های پایین جریان دارای پیچیدگی‌های بیشتری است و گردابه‌ها و ناپایداری‌های بهوضوح دیده می‌شوند. از طرف دیگر، کمترین ناپایداری‌های برای حالت تمیز نازک در  $\frac{x}{L} = 0.79$  وجود دارد. در شکل ۲۰ تغییرات شدت آشفتگی در مقطع کاری برای حالت تونل خالی و زمانی که سیم نازک در چهار موقعیت  $0.91, 0.88, 0.79, 0.71$  نصب شده، نمایش داده شده است.

منقبض‌کننده می‌توان آشفتگی را به مقدار قابل توجه کاهش داد، موقعیت نصب سیم نازک در این روش بسیار مهم است.

### فهرست علائم

- $X$ : فاصله‌ی طولی از ورودی منقبض‌کننده (cm)
- $L$ : طول منقبض‌کننده (cm)
- $P$ : فشار (Pa)
- $\rho$ : چگالی (kg/m<sup>3</sup>)
- $v$ : لزجت سینماتیکی (m<sup>2</sup>/s)
- $U$ : سرعت در راستای طول (m/s)
- $U_e$ : سرعت موضعی در منقبض‌کننده (m/s)
- $C_P = \frac{P - P_\infty}{\frac{1}{2} \rho U_\infty^2}$ : ضریب فشار
- $GO = 2Re^{0.5}\delta$ : عدد گورتر
- $Re = \frac{U_e X}{v}$ : عدد رینولدز موضعی
- $TI = 100 \times \frac{((u_{rms} + v_{rms})/v)^{1/2}}{(U_{mean} + V_{mean})^{1/2}}$ : شدت آشفتگی

### پانوشت

1. turbulence
2. contraction
3. Gortler number
4. reverse transition
5. inflection-type
6. local velocity
7. transducer

### منابع

1. Saric, W.S. and Eli, R. "Review of flow quality issues in wind tunnel testing", AIAA-98-2613 (1998).
2. Barlow, J.B.; Rae, W.H. and Pope, A., *Low-Speed Wind Tunnel Testing*, Third Edition, John Wiley and Sons (1999).
3. Loehrke, R.I., and Nagib, H.M. "Experiments on management of free-stream turbulence", AGARD-R-598 (Sept. 1972).
4. Owen, F.K. "Wind tunnel flow quality: Retrospect and prospect", 38th Aerospace sciences meeting and exhibits, AIAA 2000-0288 (2000).
5. Owen, F.K., Stainback, P.C. and Harvey, W.D. "Evaluation of flow quality in two NASA transonic wind tunnels", *Journal of aircraft*, **18**, (6) pp.451-457 (1981).
6. Derbunovich, G.I.; Zemskayam A.S.; Repik E.U and Sosedko, P. "Effect of flow contraction on the level of turbulence", Translated from *Izvestiya Akademii Nauk SSSR*, (2), pp. 146-152 (March-April, 1987).

نتایج نشان می‌دهد با نصب سیم نازک مقدار Cp ابتدای منقبض‌کننده افزایش پیدا می‌کند که نشان دهنده ضعیف شدن ناپایداری‌های در آن ناحیه است. موقعیت نصب سیم در  $0,79 = \frac{x}{L}$  بیشترین مقدار Cp را که معرف ضعیف‌تر بودن ناپایداری‌های است به خود اختصاص می‌دهد. در سرعت‌های بالاتر نصب سیم نازک باعث تضعیف گرادیان‌های نامطلوب فشاری در خروجی منقبض‌کننده و درنتیجه کم‌تر شدن ناپایداری‌های جریان در آن قسمت می‌شود. به عبارت دیگر با نصب سیم نازک نوسانات موجود در توزیع فشار در نزدیک مقطع کاری تقریباً حذف شده است. همچنین با نصب سیم نازک در سرعت‌های بالا در ابتدای منقبض‌کننده گرادیان فشار نامطلوب ایجاد شده که در حالت بدون سیم نازک، این گرادیان نامطلوب وجود نداشت. در حالت نصب سیم در  $0,79 = \frac{x}{L}$ ، گرادیان نامطلوب فشاری ضعیف‌تر و درنتیجه ناپایداری جریان کم‌تر است. در سرعت‌های بالا مقدار Cp در ابتدای منقبض‌کننده نسبت به حالت بدون سیم کمی کم‌تر می‌شود.

با توجه به نتایج بالا بهترین موقعیت نصب سیم نازک برای کم‌ترین ناپایداری در محل  $0,79 = \frac{x}{L}$  است که این مهم در اندازه‌گیری شدت آشفتگی در تولید نیز به اثبات رسید. نتایج نشان می‌دهد که اگرچه با نصب سیم نازک در داخل

7. Schubauer, G.B. and Spangenberg, W.G. "Effect of screens in wide angle diffusers", National Advisory Committee for Aeronautics, Report 949 (1947).
8. Mikhailova, N.P.; Repik, E.U. and Sosedko, Y.P. "Optimal control of free stream turbulence intensity by means of honeycombs", *Fluid Dynamics*, **29**, (3), pp.429-437 (1994).
9. Scheiman, J. and Brooks, J.D. "Comparison of experimental and theoretical turbulence reduction from screens, honeycomb, and honeycomb-screen combinations", NASA Langley Research Center (1981).
10. Soltani, M.R.; Dehghan Manshadi, M. and Mirabdollahi, M.J. "Turbulent reduction in wind tunnel using a trip strip", 2004 ASME Heat Transfer / Fluids Engineering Summer Conference, North Carolina, USA (2004).
11. Ghorbanian, K.; Soltani, M.R. and Dehghan Manshadi, M. "Experimental investigation on turbulence intensity reduction in subsonic wind tunnels", Achieve of Applied Mechanics, *The Journal is under review* (October 2008).
12. Mikhail, M.N. "Optimum design of wind-tunnel contractions", *A.I.A.A. Journal*, **17**, (5), pp. 471-477 (1979).
13. Lindgren, B. and Johansson, A.V. "Design and evaluation of a low-speed wind-tunnel with expanding corners", Technical Reports from Royal Institute of Technology (October 2002).
14. Fang, F.M.; Chen, J.C. and Hong, Y.T. "Experimental and analytical evaluation of flow in a square to square wind tunnel contraction", *Journal of Wind Engineering and Industrial Aerodynamics*, **89**, issues 3-4, pp. 247-262 (2001).

15. Chmielewski, G.E. "Boundary layer considerations in the design of aerodynamic contractions", *McDonnell Douglas Research Laboratories*, St. Louis, Mo, **11**(8) (August 1974).
16. Lanspeary, P.V. and Bull, M.K. "A mechanism for laminar three dimensional separation in duct contractions", 13th Australasian Fluid Mechanics Conference, Monash University, Melbourne, pp. 13-18 (December, 1998).
17. Mehta, R.D. "Turbulent boundary layer perturbed by a screen", *AIAA Journal*, **23**, (9), pp. 1335-1342 (1985).
18. Bottcher, J. and Wedemeyer, E. "The flow downstream of screens and its influence on the flow in the stagnation region of cylindrical bodies", *Journal of Fluid Mechanics*, **204**, pp. 501-522 (1989).
19. Sonada, T. and Aihara, Y. "Effects of pressure gradient on the secondary instability of Görtler Vortices", A.I.A.A. Paper 81-0197 (1981).
20. Bansod, P. and Bradshaw, P. "The flow in S-shaped ducts", *Aeronautical Quarterly*, **23**(2), pp. 131-140 (1972).
21. Takagi, S.; Nishizawa, A. and Tokugawa, N. "Observation of gortler vortices in wind-tunnel contraction boundary layer", Proc. 3rd Int. Symposium on Turbulence, Heat and Mass Transfer, pp. 275-282 (2000).
22. Takagi, S.; Tokugawa, N.; Shiomi, J. and Kohama, Y. "Laminar turbulent transition along the contraction nozzle in subsonic flow", 37th AIAA Aerospace Sciences Meeting and exhibit, Reno NV (1999).
23. Nishizawa, A.; Takagi, S.; Tokugawa, N. and Sobagaki, T. "Rebirth of turbulence in laminarized boundary layers along the wind tunnel contraction", 39th AIAA Aerospace Sciences Meeting and exhibit, Reno NV, AIAA 2001-0277 (2001).
24. Okamoto, T. and Misu, L. "Reverse transition of turbulent boundary layer flow on curved wall of two-dimensional symmetrical contraction", *Trans. Japan Soc. Aero. Space Sci.*, **22**, pp. 128-138 (1979).
25. Soltani, M.R.; Dehghan Manshadi, M. and Mirabdollahi, M.J. "Flow quality study in a subsonic wind tunnel", ISME 2004 Conference, Tehran, IRAN (2004).
26. Soltani, M.R.; Dehghan Manshadi, M. and Mirabdollahi, M.J. "An experimental study of the flow characteristics in a subsonic wind tunnel", International Mechanical Engineering Conference, December 5-8, Kuwait (2004).
27. Perry, A.E. "Hot-wire anemometry", Clarendon Press Oxford (1982).
28. Lomas, C.G. "Fundamentals of hot wire anemometry", Cambridge University Press (1993).
29. Jorgensen, F.E. "How to measure turbulence with hot wire anemometers", a practice guide, Dantec Dynamics (2005).

